

УДК 621.315.592

**ИССЛЕДОВАНИЕ ОБЪЕМНЫХ И ПОВЕРХНОСТНЫХ  
КИНЕТИЧЕСКИХ СВОЙСТВ КРИСТАЛЛОВ  $n\text{-Hg}_{1-x}\text{Cd}_x\text{Te}$   
В ОБЛАСТИ ТЕМПЕРАТУР  $0.5 < T < 50$  К**

Вертий А. А., Горбатюк И. Н., Иванченко И. В., Попенко Н. А.,  
Пустыльник О. Д., Раренко И. М., Тарапов С. И.

Исследованы объемные и поверхностные характеристики твердых растворов  $n\text{-Hg}_{1-x}\text{Cd}_x\text{Te}$  ( $x = 0.2$ ) в интервале температур  $0.5 < T < 50$  К. Обсуждаются магнитополевые зависимости постоянной Холла и магнитосопротивления в области перехода металл—диэлектрик для различных концентраций носителей в магнитных полях до 2.5 Т. Анализируются температурные зависимости концентрации  $n_s$  и подвижности  $\mu_s$  электронов проводимости в приповерхностном слое на частоте  $f = 130$  ГГц.

**Введение.** Изучению свойств твердых растворов  $\text{Cd}_x\text{Hg}_{1-x}\text{Te}$  (КРТ) с составом  $x = 0.2$  посвящен ряд работ как в нашей стране, так и за рубежом, что обусловлено прежде всего эффективностью их применения в качестве приемников ИК излучения. В связи с этим в последнее время особое внимание было уделено области аномального поведения кинетических коэффициентов в КРТ, связанного с переходом металл—диэлектрик и обусловленного локализацией электронов в ямах флюктуационного потенциала (ФП) примесных атомов [1–4]. Эти работы и целый ряд других фундаментальных исследований позволили получить достаточно полное представление о структуре этого соединения, о механизмах переноса энергии и рассеяния основных и неосновных носителей в объеме кристалла и т. д. Однако, как известно, в КРТ существуют по крайней мере две проблемы, изучению которых не было уделено достаточно внимания: во-первых, отсутствует совместный анализ поверхностных и объемных кинетических свойств кристаллов в их взаимосвязи, во-вторых, интервал температурных измерений ограничивался, как правило, со стороны низких температур величиной  $T = 1.5$  К.

Цель настоящей работы — совместное исследование поведения объемных и поверхностных кинетических коэффициентов твердых растворов КРТ  $n$ -типа в области низких и сверхнизких температур  $0.5 < T < 50$  К.

### Методика измерений

Исследования проводились на низкотемпературном комплексе «Буран», обеспечивающем рабочий интервал температур  $0.3 < T < 50$  К и диапазон магнитных полей до 7 Т [5]. Измерение объемных характеристик полупроводниковых образцов осуществлялось гальваномагнитными методами на постоянном токе [6]. Подвижность и концентрация носителей на поверхности определялись из спектров поверхностных поляритонов магнитоплазменного типа [7]. Возбуждение последних происходило с помощью призмы полного внутреннего отражения.

Изучались образцы КРТ  $n$ -типа, выращенные модифицированным методом зонной плавки под углом к горизонту в кварцевых контейнерах из предварительно синтезированных однородных поликристаллов.

Образцы требуемой конфигурации вырезались из кристаллических шайб толщиной  $0.8 \pm 1.1$  мм, перевод которых в  $n$ -тип проводимости осуществлялся

Таблица 1

№ образца	Тип образца	Состав $x$	$n, \text{см}^{-3}$ при $T = 77 \text{ К}$	$\mu, \text{см}^2/\text{В}\cdot\text{с}$ при $T = 77 \text{ К}$	Ширина щели $E_g, \text{мэВ}$	$N_D/N_A$	Время жизни избыточных фотонов
1	КРТ	0.219	$1.5 \cdot 10^{14}$	$2.27 \cdot 10^5$	120	0.5	$5.6 \cdot 10^{-7}$
2	КРТ	0.201	$2.7 \cdot 10^{14}$	$3.22 \cdot 10^5$	95	0.6	$5.0 \cdot 10^{-7}$
3	КРТ	0.202	$3.9 \cdot 10^{14}$	$3.5 \cdot 10^5$	95	0.6	$4.8 \cdot 10^{-7}$
4	КРТ	0.204	$6.0 \cdot 10^{14}$	$2.6 \cdot 10^5$	100	0.7	$6.1 \cdot 10^{-7}$

обычным низкотемпературным отжигом в насыщенных парах ртути. Особое внимание было уделено подготовке поверхности кристаллов с целью устранения как нарушенных слоев в кристаллах при механической обработке, так и уменьшения переходного по свойствам приповерхностного слоя путем оптимизации и стабилизации химических свойств поверхности кристаллов. Механическая обработка образцов осуществлялась в щадящем режиме полировкой алмазными пастами с финишной обработкой на АСМ 1/0 и последующим снятием остаточного нарушенного слоя толщиной не менее  $20 + 40 \text{ мкм}$  химическим травлением в стандартном химическом травителе  $\text{Br}_2$  в метаноле. С целью оптимизации свойств поверхности и максимального устранения влияния вида обработки на ее свойства исследованы различные виды обработок: механическая полировка, химико-механическая полировка и химическое травление при различных режимах на свойства поверхности кристаллов. Контроль состояния поверхности после обработки (по величине естественного окисного слоя, влиянию переходной по химическому составу области и высоте рельефа) производился методами оже-спектроскопии, растровой электронной спектроскопии (РЭМ), методом профилометрии и химическим микронализом, что позволило оптимизировать свойства поверхности, устранив влияние различных видов обработок и получив химико-физические параметры поверхности кристаллов (толщина окисного слоя  $< 60 \text{ \AA}$ , высота рельефа  $< 1 \text{ мкм}$ ) практически идентичными по свойствам их естественным сколам.

Характеристики образцов, полученные при температуре кипения азота, приведены в табл. 1. Степень компенсации оценивалась из нахождения двух величин:  $N_D - N_A$  определялась по значению коэффициента Холла в области примесной проводимости, где  $R_x(T) = \text{const}$ ;  $N_D + N_A$  рассчитывалась по формуле Брукса—Херринга по значению измеренной подвижности также в области примесной проводимости.

## Обсуждение экспериментальных результатов

На рис. 1 приведены температурные зависимости коэффициентов Холла  $R_x$  и колловской подвижности  $\mu_x$  для четырех образцов КРТ (табл. 1).

Наблюдается характерный оптимум на зависимостях  $\mu_x(T)$ , свидетельствующий о смене механизмов рассеяния основных носителей, т. е. о переходе от примесной проводимости к собственной. При этом положение данного оптимума зависит от величины концентрации последних. В соответствии с классическими представлениями о поведении  $R_x(T)$  следовало бы ожидать отсутствия его изменения в области температур  $T < 10 \text{ К}$ , где вступает в действие механизм примесной проводимости. Однако для образцов  $n\text{-Hg}_{1-x}\text{Cd}_x\text{Te}$  в ряде работ, например [1, 3], было показано аномальное изменение  $R_x$  при изменении величины магнитного поля. Ввиду малого значения магнитного поля  $H_0 = 500 \text{ Э}$ , при котором регистрировался  $R_x$  в наших экспериментах, наблюдение аномалий может иметь место для образцов с малыми концентрациями [3]. Действительно, для образцов 3, 4 изменения  $R_x$  не наблюдается вплоть до  $T = 0.5 \text{ К}$ . Для образцов 1, 2 происходит аномальное изменение в поведении  $R_x(T)$  при температуре  $T < 1 \text{ К}$ .

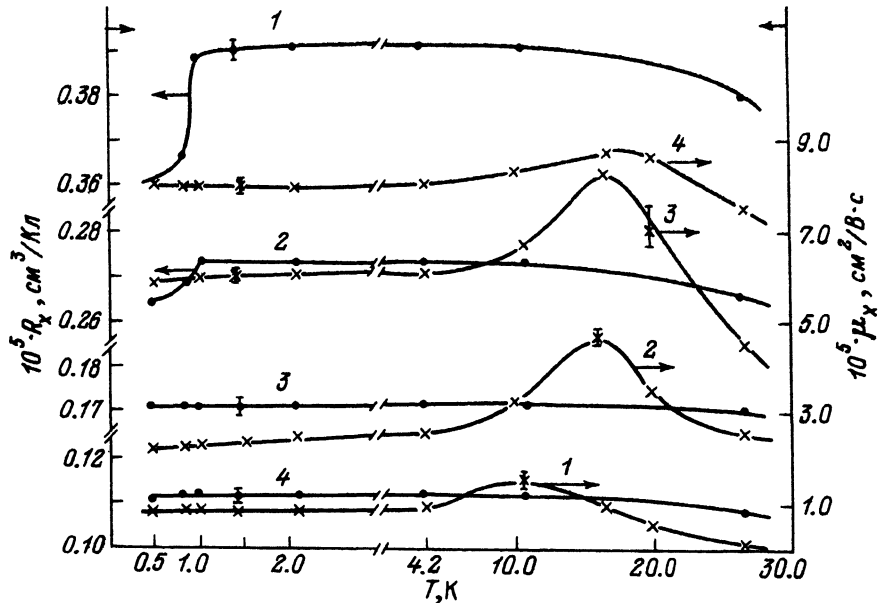


Рис. 1. Температурные зависимости коэффициента Холла и холловской подвижности.  
Цифры у кривых соответствуют номерам образцов.

По-видимому, в данной области температур при концентрации носителей  $n = 1.5 \cdot 10^{14}$  и магнитных полях  $H_0 = 500$  Э природа аномалии может быть связана с переходом металл—диэлектрик [3]. С целью проверки данного предположения нами были измерены магнитополевые зависимости  $R_X(H)$  и поперечного магнитосопротивления  $\rho_{xx}(H)$  для образцов 1 и 3 (рис. 2, 3). Рассмотрев полученные зависимости, видим, что после некоторого критического значения магнитного поля  $H_{kp}$  наблюдаются изломы в поведении  $R_X(H)$  и  $\rho_{xx}(H)$ . При этом крутизна спада зависимости  $R_X(H)$  уменьшается с ростом  $T$ , что свидетельствует о доминирующем эффекте уменьшения концентрации легких электронов над эффектом их ларморовского закручивания. Этот результат согласуется с данными работы [8], где аналогичные зависимости наблюдались до  $T = 1.4$  К. Как следует из зависимостей, приведенных на рис. 2, крутизна спадания максимальна для температуры 0.5 К и для образца 1 с минимальной концентрацией носителей.

Оценим величины порогового поля  $H_{kp}$  для образцов 1 и 3 из соотношения

$$B = \frac{3\pi^2 \hbar c a^{1/2} n^{7/6}}{2 e n_i^{1/3}} \left( \frac{3}{\pi} \right)^{1/6}, \quad (1)$$

где  $n_i$  — концентрация заряженных центров,  $a$  — боровский радиус электрона. Согласно (1), значения  $H_{kp}$  для образцов 1 и 3 составляют 0.5 и 2.8 кЭ соответственно. Сравнение рассчитанных величин с полученными в результате эксперимента свидетельствует о наличии перехода «металл—диэлектрик» в исследуемых образцах, обусловленного локализацией электронов в ямах флюктуационного потенциала.

Отметим также аномальное поведение коэффициента Холла  $R_X(H)$  при магнитных полях  $H < 2$  кЭ и температурах  $T < 1$  К (см. вставку на рис. 2). Амплитуда осцилляций  $R_X(H)$  максимальна для образца с минимальной кон-

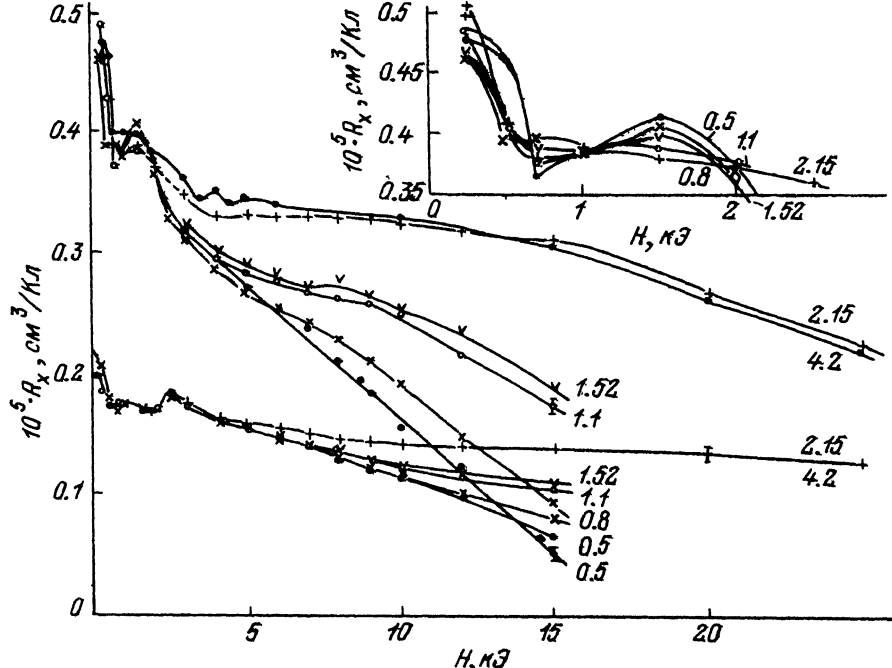


Рис. 2. Полевые зависимости коэффициента Холла для образцов 1 и 3.  
Цифры у кривых соответствуют температуре измерений (К).

центрацией основных носителей заряда. Обнаруженный эффект будет являться предметом дальнейших исследований.

Сравнительный анализ полученных температурных и магнитополевых зависимостей основных параметров кристаллов  $n\text{-Hg}_{1-x}\text{Cd}_x\text{Te}$  показывает, что для всех исследованных образцов концентрация носителей заряда на поверхности  $n_s$ , определенная методом нарушенного полного внутреннего отражения (НПВО), выше, а подвижность электронов на поверхности  $\mu_s$ , ниже или равна холловской (табл. 2,  $T = 4.2$  К).

Указанный результат свидетельствует о различии свойств объема и поверхности кристаллов КРТ и объясняется особенностью образования дефектов в приповерхностном слое при их обработке [9]. Полученное методом НПВО значение величин концентрации электронов может быть объяснено наличием у полупроводников  $n$ -типа донорных состояний на поверхности, что приводит к изгибу энергетических зон  $E(k)$  в приповерхностной области и образованию области обогащения. При этом диффузионное рассеяние носителей заряда на поверхности обуславливает уменьшение их подвижности [10].

Таблица 2

№ образца	$n_x$ , $\text{см}^{-3}$	$\mu_x$ , $\text{см}^2/\text{В}\cdot\text{с}$	$n_s$ , $\text{см}^{-3}$	$\mu_s$ , $\text{см}^2/\text{В}\cdot\text{с}$	$H_{kp}^T$	$H_{kp}^3$
1	$1.6 \cdot 10^{14}$	$2.5 \cdot 10^5$	$2.57 \cdot 10^{14}$	$1.95 \cdot 10^5$	0.5	1.5
2	$2.30 \cdot 10^{14}$	$6.2 \cdot 10^5$	$3.0 \cdot 10^{14}$	$2.98 \cdot 10^5$	1.2	—
3	$3.65 \cdot 10^{14}$	$8.0 \cdot 10^5$	$4.9 \cdot 10^{14}$	$2.05 \cdot 10^5$	2.8	3.5
4	$5.6 \cdot 10^{14}$	$1.65 \cdot 10^5$	$5.1 \cdot 10^{14}$	$1.65 \cdot 10^5$	—	—

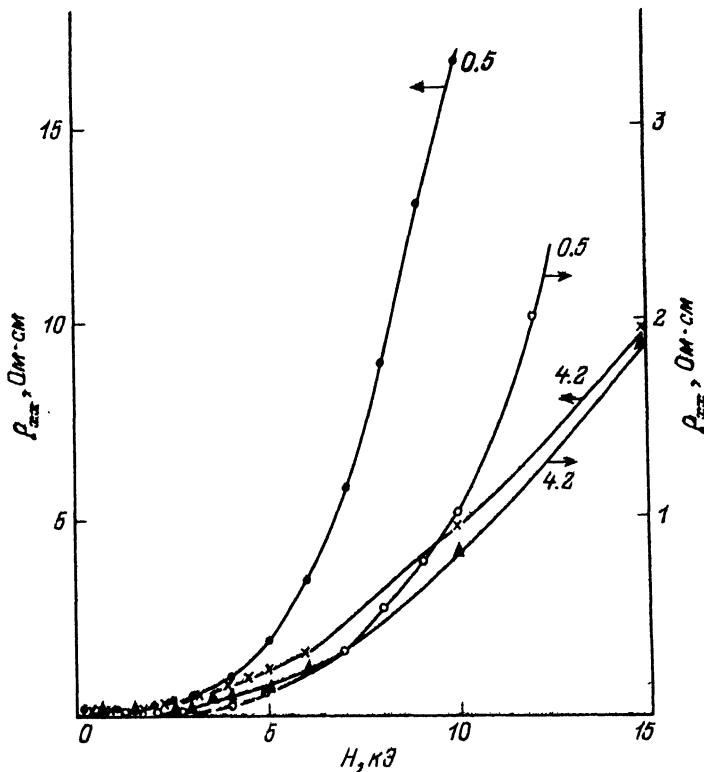


Рис. 3. Зависимость магнитосопротивления от магнитного поля для образцов 1 (шкала слева) и 3 (шкала справа).

Цифры у кривых соответствуют температуре измерений.

При возбуждении поверхностного поляритона магнитоплазменного типа в методе НПВО характерные значения магнитного поля, соответствующего порогу возбуждения, составляли  $1.5 \pm 2.2$  кЭ для образцов 1—3. Из данных, приведенных в табл. 2, следует, что для образца 1 порог возбуждения поляритона соответствует магнитному полю, превышающему  $H_{\text{кр}}$ , т. е. после перехода от металлической к активационной проводимости. По-видимому, именно этим фактом объясняется незначительное уменьшение подвижности на поверхности  $\mu_s$  по сравнению с образцами 2 и 3 в связи с тем, что в поле СВЧ волны электроны, находящиеся в ямах ФП (пространственный размер которых больше области локализации на отдельных центрах), ведут себя как «свободные» и вносят вклад в высокочастотную проводимость.

На рис. 4 приведены температурные зависимости концентрации и подвижности носителей заряда на поверхности полупроводника, измеренные методом НПВО. Видно, что характер этих зависимостей отличается от аналогичных, измеренных в объеме кристалла. В частности, на концентрационной зависимости  $n_s(T)$  наблюдается минимум, который с ростом концентрации основных носителей (образцы 2 и 3) сдвигается в область высоких температур. Для объяснения полученной температурной зависимости поверхностной концентрации применим следующую физическую модель. Известно, что поверхностная концентрация электронов  $n_s$  связана с объемной концентрацией электронов  $n_i$ , электростатическим потенциалом на поверхности  $\psi_s$  и температурой следующим соотношением [10]:

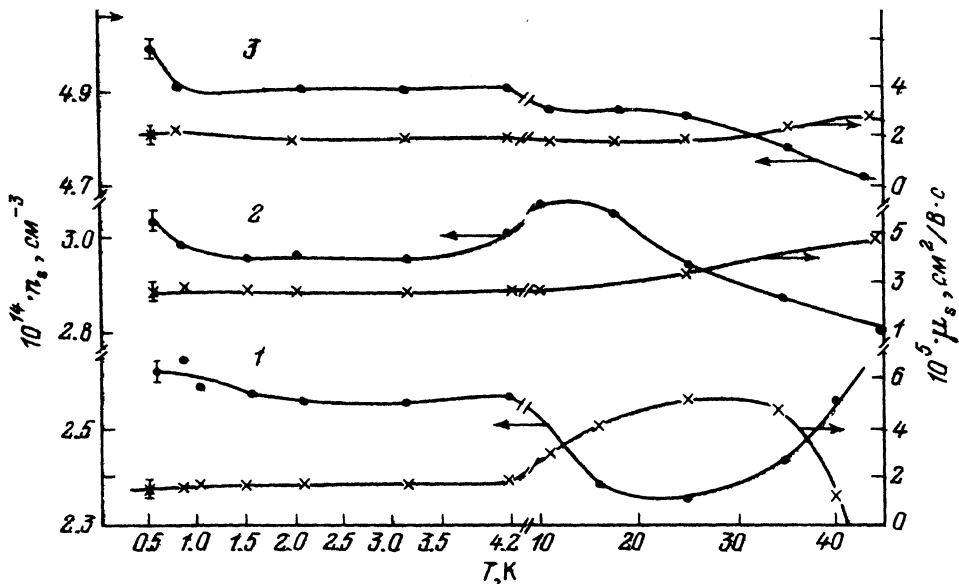


Рис. 4. Температурные зависимости концентрации и подвижности на поверхности полупроводника. Цифры у кривых соответствуют номерам образцов.

$$n_s = n_i e^{\psi_s/kT}. \quad (2)$$

Как следует из предыдущих результатов,  $\psi_s$  в нашем случае из-за образования обогащенного слоя положителен. В области примесной проводимости до температуры порядка  $T < 10$  К концентрация  $n_i$  постоянна. Наблюдаемое уменьшение концентрации на поверхности в области  $T > 10$  К связано с температурным изменением величины заряда в приповерхностной области. При дальнейшем увеличении температуры это уменьшение  $n_s$  будет компенсироваться ростом  $n_i$ , связанным с переходом к собственной проводимости. По мере увеличения концентрации  $n_x$  (рис. 1) от образца к образцу скорость роста  $n_i$  как функции температуры уменьшается, что и приводит к сдвигу минимума в области более высоких температур. Обращает на себя внимание наблюдаемая на рис. 1, 4 тенденция роста концентрации при  $T < 1$  К, причем характер роста различен для объема и поверхности и зависит от концентрации основных носителей в исследуемом образце. При этом сложный вид кривой  $n_s(T)$  для поверхности образца 2 (рис. 4), по всей видимости, обусловлен тем обстоятельством, что данная зависимость регистрировалась при значении магнитного поля (соответствующего условию возбуждения поверхностного поляритона) в области перехода металл—диэлектрик (табл. 2).

В данной работе проведены исследования поверхностных и объемных кинетических характеристик тройных соединений типа  $n\text{-Hg}_{1-x}\text{Cd}_x\text{Te}$  и предпринята попытка их совместного анализа. Было установлено следующее.

1. Для всех исследованных образцов концентрация носителей на поверхности выше, а подвижность ниже или такая же, как в объеме кристаллов.
2. Наличие экстремума в зависимости  $n_s(T)$  обусловлено изменением величины заряда в приповерхностном слое при повышении температуры.
3. Максимальное значение  $\mu_s(T)$  сдвигается в область более высоких температур по сравнению с  $\mu_x(T)$  по мере увеличения  $n$ .
4. Поверхностная подвижность носителей различна в области металлической и активационной проводимостей.

5. Увеличение концентрации носителей при  $T < 1$  К зависит от концентрации примесей в кристаллах КРТ, при этом характер роста  $n$  на поверхности и в объеме образца различен.

Обнаружен осцилляционный характер магнитополевой зависимости коэффициента Холла в интервале магнитных полей  $0.1 < H < 1$  кЭ, причем амплитуда осцилляций растет как по мере уменьшения концентрации  $n$ , так и при понижении температуры.

### СПИСОК ЛИТЕРАТУРЫ

- [1] Аронзон Б. А., Чумаков Н. К. // ФТГ. 1989. Т. 31. В. 4. С. 10—20.
- [2] Аронзон Б. А., Копылов А. В., Мейлихов Е. З. // ФТП. 1989. Т. 23. В. 3. С. 471—477.
- [3] Цидильковский И. М., Арапов Ю. Г., Давыдов А. Б., Зверева М. Л. // ФТП. 1987. Т. 21. В. 5. С. 792—797.
- [4] Shayegan M., Goldman V. T., Dview H. D. // Phys. Rev. B. 1988. V. 39. N 8. P. 5585—5602.
- [5] Verity A. A., Ivanchenko J. V., Popchenko V. A. et al. // Int. J. Infr. a. Millimeter waves. 1989. V. 10. N 3. P. 395—404.
- [6] Кучис Е. В. Методы исследования эффекта Холла. М., 1974. 328 с.
- [7] Амбрязовичене В. С., Бразис Р. С. // ФТГ. 1977. Т. 12. В. 6. С. 1114—1118.
- [8] Арапов Ю. Г., Давыдов А. Б., Зверева М. Л. и др. // ФТП. 1983. Т. 17. В. 8. С. 1392—1396.
- [9] Гайдялис В. И., Кушпелис А. А., Ращевская Е. П. // Тр. VI Всес. симп. по полупроводникам с узкой запрещенной зоной и полуметаллам. Львов, 1983. С. 90.
- [10] Пустыльник О. Д., Зыков Г. А., Раренко И. М. и др. // Тр. II Всес. конф. материаловедения халькогенидных и кислородосодержащих полупроводников. Черновцы, 1986. Т. 1. С. 118.
- [11] Шалимова К. В. Физика полупроводников. М., 1976. 416 с.

Институт радиофизики и электроники  
АН Украины  
Харьков

Получена 4.02.1991  
Принята к печати 22.10.1991